

摂南大学大学院 学生員 松尾庄司
摂南大学工学部 正員 道廣一利

1. はじめに

最近、わが国でも地盤調査の有力なもの一つとして電気式コーン貫入試験機（三成分コーン）が採用されるケースが多くなっている。これに並行して、三成分に加え他の地盤情報を得ようとする試みでサイスマックコーンやR I コーンなどが開発されている。

本研究は地盤の粒度組成や構成を明らかにするため、従来の三成分コーンに A E センサーを内蔵させた A E コーン 1 号機に改良を加え、地盤内の情報を一層精度よく把握する目的で A E コーン 2 号機を試作し、室内土槽実験を行い検討した。

2. 実験方法の概要

実験に使用した試料は珪砂 4 号 ($D_{50} = 1.15\text{mm}$) および 8 号 ($D_{50} = 0.165\text{mm}$) の 2 種類である。実験装置は、土槽・コーン貫入装置・A E コーンと A E 信号を增幅・選別するディスクリミネーターおよびそれらを記録・図化する U プロッターで構成されており、それらの概略を図-1 に示す。

A E コーン 1 号機、2 号機の詳細を図-2 に示す。図のように 1 号機では、A E センサーがロッド内部の金属部分に設置されており、したがって、A E 信号はロッド外部の金属部分から内部の金属部分を介して A E センサーに伝達したものが観測されていた。そのため信号のレベルの強弱はあるが、ロッド周面全体での観測になっていた。2 号機図のように A E センサーはロッドの周面上にドーナツ状のリングとして設置しており、かつ A E センサーとロッド本体の間には硬質のゴム製 O リングを挟むことによりセンサー位置での信号のみをキャッチできるように改良した。なお、改良型 A E コーンは 4 成分の観測が可能であるが、今回の試験では A E センサーの感度に着目しているため先端抵抗、周面摩擦および間隙水圧の測定は行っていない。

3. 実験結果とその考察

A E コーン 1 号機で得られた主な結果は次のようである¹⁾。
 1) 単一試料では深度が深いほど拘束圧が大きくなり A E 発生レートも単調的におおくなる。2) 粒径が大きい程 A E 発生数も多くなる。3) 含水比が増すと A E の発生数は少なくなる。4) 拘束圧と粒径とでは粒径の方が A E 発生に与える影響が大きい。これらのことと踏まえて以下のようない号機と 2 号機の比較検討を行った。

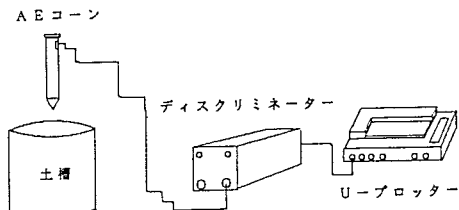


図-1 実験装置の概略図

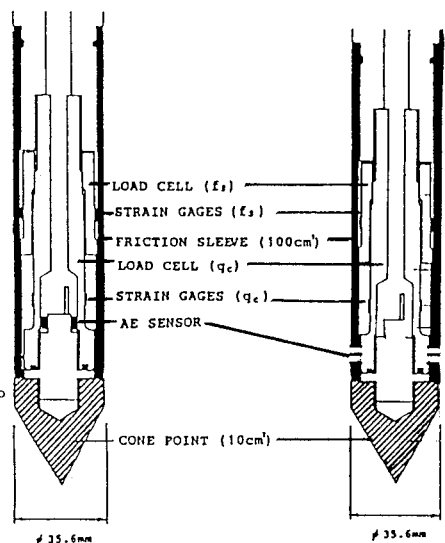


図-2 A E コーン 1 号機と 2 号機

A E コーン 1 号機での珪砂 4 号における模型地盤の結果を図-3 に示す。図は縦軸に土槽表面からの深さ、横軸には A E 発生レートをとっている。図より深度 10cm くらいから単調に A E レートが増加している（上述の結果 1））。

一方、改良型 2 号機での実験結果（図-4、試料、密度および含水比はほぼ同一）では、深度が大きくなるにつれて拘束圧も大きくなり A E 発生レートも増加しており全体の傾向としては同じであったが、相違点として次の 2 点が挙げられる。（1）1 号機に比較し 2 号機では A E 発生数が若干減少している。この原因是、1 号機での信号観測がロッド周面の全てからのものであったが、2 号機では地盤と接するセンサー部分の幅が 1.4cm と小さいためトータルの A E 数は少なくなっていることに起因している。（2）1 号機ではコーン貫入深さ 10cm 位から A E が観測されているが、2 号機では 3cm 位となっている。これは、1 号機でのセンサーはロッド内部に設置しており、拘束圧の小さい貫入深度の浅い所では A E 信号が微弱であり減衰が激しく観測されていないためである。一方、2 号機ではコーンポイント上部より約 3cm の位置にロッドと一体化させており、そのため部分的に感度がよくなることにより拘束圧が小さいにもかかわらずセンサー部が地盤に接すると同時に A E が観測されているためである。ここに挙げたのは一例であるが、他のデータでも同様な結果であった。2 号機での A E 観測数は若干少なくなっているが、センサー位置での正確な観測が可能となったことにより、今後 A E コーンを用いて原位置試験から地盤の粒度組成を間接的に推定するうえで、非常に有効であるといえる。

上述した結論 2) の粒径の違いによる A E 発生率を改良型 2 号機で検討したのが図-4、5 である。両図を比較すれば明らかなように粒径が大きい（珪砂 4 号）ほど A E 発生レートも多くなり、その増加の割合も 1 号機とほぼ同様の傾向であった。

また、2 号機における結果 3) 4) についても 1 号機と同様な結果であった。

4. おわりに

今回の報告においては、1 号機と 2 号機との A E 発生傾向や粒径・含水比などの違いによる A E 発生率に主眼を置いており、今後同一条件下（たとえば、増幅度、密度、含水比等）での模型互層地盤における実験を繰り返し行うことにより、粒径～含水比～拘束圧～A E 発生率の定量的な相互関係を見いだし、A E コーンの利用法である地盤の粒度組成の推定や、ゆるい砂地盤の地震時の液状化ポテンシャルの予測に適用できるものと確信している。

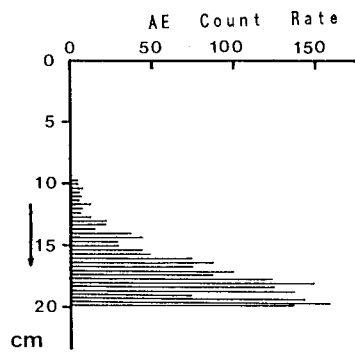


図-3 1号機の結果（珪砂4号）

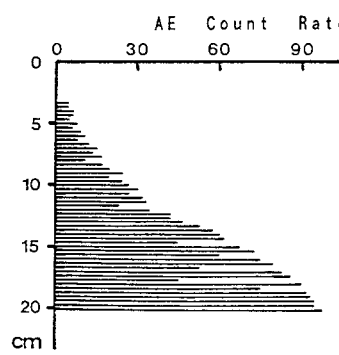


図-4 2号機の結果（4号）

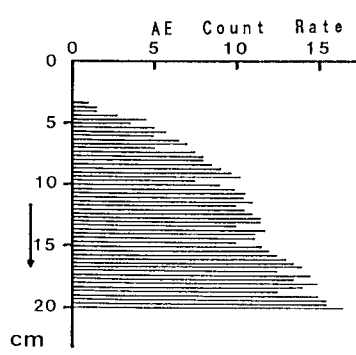


図-5 2号機の結果（8号）

《参考文献》

- 1) 柴田 徹・道廣一利；土質分類における A E の適用、土木学会第 44 回年次学術講演会、第 3 部 pp. 982-983、平成元年